

$(B, \theta_B)$ 법을 이용한 이방성 전기강판의 자계 분포 해석

윤 희 성, Li Wei, 고 창 섭  
 충북대학교 전기공학과

Magnetic Field Analysis of Anisotropic Steel Sheet using  $(B, \theta_B)$  Method

Hee Sung Yoon, Wei Li, Chang Seop Koh  
 Department of Electrical Engineering, Chungbuk National University

**Abstract** - 일반적으로 이방성 전기강판의 자계 해석 시, 자속밀도와 자계세기의 위상차를 고려하지 않고 그 크기만을 이용하여 자계 분포를 해석한다. 자속밀도와 자계세기는 그 방향이 같지 않기 때문에 유한요소 해석 시, 반드시 그 위상차가 고려되어야 한다. 본 논문에서는  $(B, \theta_B)$ 법을 이용하여 2차원 자기 특성이 고려된 이방성 전기강판의 자계 분포를 해석하고, 그 결과를 일반적인 유한요소 해석 결과와 비교한다.

1. 서 론

일반적으로 이방성 전기강판 내에서 자속밀도와 자계 세기는 같은 방향을 가지지 않는다. 그러나 이방성 전기 강판의 자계 해석시, 일반적으로 자속밀도와 자계세기의 위상차를 고려하지 않고 그 크기만을 고려하여 자계 분포를 해석한다. 정확한 자계분포를 해석하기 위해서는 유한요소 해석 시, 반드시 그 위상차가 고려되어야 한다.

지금까지 2차원 자기 특성을 고려한 이방성 전기강판의 자계분포를 해석하기 위해 다양한 연구가 진행되어 왔다[1-3]. 그 중, Masato Enokizono에 의해 유효자기저항율(Effective reluctivity)을 이용하여 자기저항을 텐서식을 표현하는  $(B, \theta_B)$ 법이 제안되었다[2]. 이 방법은 자속밀도와 자계세기의 관계를 크기뿐만 아니라 위상차도 고려하여 표현한다. 그리고 Newton-Raphson법의 수렴특성을 향상시키기 위해 Koji Fujiwara에 의해 개선된 표현식이 제안되었다[3]. 이 표현식들은 모두 자속밀도의 크기와 방향을 독립변수로 하여 2차원 자기특성 측정 장치를 이용하여 교번자계하에서 측정된 자계세기의 크기와 방향을 이용하여 표현된다.

본 논문에서는  $(B, \theta_B)$ 법을 이용하여 2차원 자기 특성이 고려된 이방성 전기강판의 자계 분포를 해석한다. 그리고 해석된 결과를 일반적인 유한요소 해석 결과와 비교한다.

2. 자기저항율의 정의

2.1 일반적인 자기저항율 표현식

그림 1은 이방성 전기강판에서의  $B$ 와  $H$ 의 관계를 나타낸 것이다. 일반적으로 RD-TD 좌표계에서 자계세기  $H_R$ 와  $H_T$ 는 다음과 같이  $B_R$ 과  $B_T$ 의 함수로 표현된다[1].

$$H_R = f(B_R, B_T) \tag{1}$$

$$H_T = f(B_R, B_T)$$

이방성 전기강판에서의 자계분포를 정확히 해석하기 위해서는 그림 1에서 보듯이  $B$ 와  $H$ 의 크기뿐만 아니라 위상차  $\theta_{BH}$ 를 반드시 고려하여야 한다. 그러나 일반적

인 해석 방법에서는  $H_R$ 과  $H_T$ 는 각각  $B_R$ 과  $B_T$ 에 의해서만 영향을 받는다고 가정하고, 그림 2와 같이 RD와 TD방향에서 측정된 두 가지 B-H 곡선만을 이용하여  $B$ 와  $H$ 의 관계를 표현한다. 일반적인 자기저항을 텐서식을 표현하면 다음과 같다.

$$\begin{pmatrix} H_R \\ H_T \end{pmatrix} = \begin{bmatrix} v_R & 0 \\ 0 & v_T \end{bmatrix} \begin{pmatrix} B_R \\ B_T \end{pmatrix}, v_R = \kappa(B_R), v_T = \kappa(B_T) \tag{2}$$

이 표현식은  $B$ 와  $H$ 의 위상차를 고려하지 못하기 때문에 해석의 정확성이 비교적 떨어진다. RD 방향이 x축 방향과 같지 않을 경우 ( $\theta \neq 0$ ),  $B$ 와  $H$ 는 x-y 좌표계에서 다음과 같이 표현된다.

$$\begin{pmatrix} H_x \\ H_y \end{pmatrix} = \begin{bmatrix} \cos \theta & \sin \theta \\ -\sin \theta & \cos \theta \end{bmatrix}^{-1} \begin{bmatrix} v_R & 0 \\ 0 & v_T \end{bmatrix} \begin{bmatrix} \cos \theta & \sin \theta \\ -\sin \theta & \cos \theta \end{bmatrix} \begin{pmatrix} B_x \\ B_y \end{pmatrix} \tag{3}$$

2.2  $(B, \theta_B)$ 법을 이용한 자기저항율 표현식

일반적인 해석 방법은  $B$ 와  $H$ 사이의 위상차를 고려하지 못하기 때문에 해석의 정확성이 떨어진다. 이러한 문제점을 보완하기 위해 Enokizono에 의해 유효자기저항율을 이용하여 자기저항을 텐서식을 표현하는  $(B, \theta_B)$ 법이 제안되었다[2].

그림 1에서 보듯이,  $B$ 와  $H$ 는 위상차  $\theta_{BH}$ 를 가지고 있다. 따라서  $B$ 의 방향과 같은 방향을 가진 자계세기  $H$ 은  $H$ 를 회전시킴으로서 다음과 같이 정의될 수 있다.

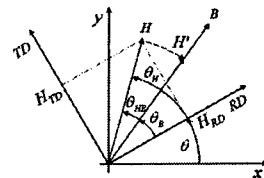


그림 1. 이방성 전기강판에서의  $B$ 와  $H$ 의 관계

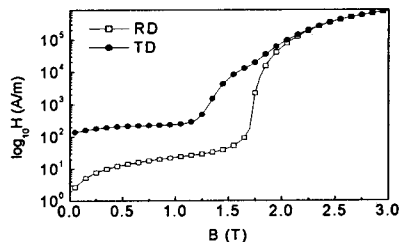


그림 2. RD, TD방향에서의 B-H 곡선

$$\begin{pmatrix} H_R \\ H_T \end{pmatrix} = \begin{bmatrix} \cos \theta_{HB} & \sin \theta_{HB} \\ -\sin \theta_{HB} & \cos \theta_{HB} \end{bmatrix} \begin{pmatrix} H_R \\ H_T \end{pmatrix} \quad (4)$$

그리고 유효자기저항을  $v_{eff}$ 는  $B$ 와  $H$ 의 크기로부터 다음과 같이 정의된다.

$$v_{eff} = \frac{|H|}{|B|} \quad (5)$$

식 (4)와 (5)을 이용하여  $B$ 와  $H$ 의 관계를 다음과 같이 정의할 수 있다.

$$\begin{pmatrix} H_R \\ H_T \end{pmatrix} = v_{eff} \begin{bmatrix} \cos \theta_{HB} & -\sin \theta_{HB} \\ \sin \theta_{HB} & \cos \theta_{HB} \end{bmatrix} \begin{pmatrix} B_R \\ B_T \end{pmatrix} \quad (6)$$

x-y 좌표계에서의 표현식은 식 (6)과 동일하다. 식 (6)은 Fujiwara에 의해 제안된 방법을 이용하여 다음과 같이 표현될 수 있다[3].

$$\begin{pmatrix} H_x \\ H_y \end{pmatrix} = v_{eff} \begin{bmatrix} \cos \theta_{HB} - \frac{B_y}{B_x} \sin \theta_{HB} & 0 \\ 0 & \frac{B_x}{B_y} \sin \theta_{HB} + \cos \theta_{HB} \end{bmatrix} \begin{pmatrix} B_x \\ B_y \end{pmatrix} \quad (7)$$

식 (7)은 다음과 같이 간단한 형태로 표현되어진다.

$$\begin{pmatrix} H_x \\ H_y \end{pmatrix} = \begin{bmatrix} \frac{H \cos(\theta + \theta_H)}{B \cos(\theta + \theta_B)} & 0 \\ 0 & \frac{H \sin(\theta + \theta_H)}{B \sin(\theta + \theta_B)} \end{bmatrix} \begin{pmatrix} B_x \\ B_y \end{pmatrix} \quad (8)$$

$$= \begin{bmatrix} \frac{H_x}{B_x} & 0 \\ 0 & \frac{H_y}{B_y} \end{bmatrix} \begin{pmatrix} B_x \\ B_y \end{pmatrix} = \begin{bmatrix} v_x & 0 \\ 0 & v_y \end{bmatrix} \begin{pmatrix} B_x \\ B_y \end{pmatrix}$$

식 (8)의  $v_x$ 와  $v_y$ 는 각각  $B$ ,  $H$ ,  $\theta_B$ ,  $\theta_H$ 의 함수이고,  $H$ 와  $\theta_H$ 는  $B$ 와  $\theta_B$ 의 함수이다.  $H$ 와  $\theta_H$ 는  $B$ 와  $\theta_B$ 를 독립변수로 하여 2차원 자기특성 측정 장치로부터 측정되어질 수 있다. 그림 3은 식 (8)을 이용한 유한요소 해석을 위해 사용되는, 측정된 2차원 자기 특성 데이터를 나타낸 것이다. 그림 3에서 보듯이  $H$ 와  $\theta_H$ 는  $B$ 와  $\theta_B$ 에 따라 비선형 특성을 나타내기 때문에 Newton-Raphson법을 적용하여 해석해야 한다. 식 (8)을 이용하여 벡터 포텐셜  $A_j$ 에 대한 가중잔차(Weighted residual)의 미분치  $\partial R_j / \partial A_j$ 는 다음과 같이 표현된다.

$$\frac{\partial R_j}{\partial A_j} = \frac{1}{4\Delta} (v_x d_j + v_y c_j c_j) \quad (9)$$

$$+ \frac{\partial v_x}{\partial A_j} \frac{1}{4\Delta} \sum_{k=1}^3 d_j d_k A_k + \frac{\partial v_y}{\partial A_j} \frac{1}{4\Delta} \sum_{k=1}^3 c_j c_k A_k$$

여기서,  $c_j$ 와  $d_j$ 는 노드에서의 좌표함수이고,  $\Delta$ 는 요소에서의 면적을 나타낸다. 식 (9)에서 미분치  $\partial v_x / \partial A_j$ 와  $\partial v_y / \partial A_j$ 는 각각  $B$ ,  $H$ ,  $\theta_B$ ,  $\theta_H$ 의 함수로 표현되기 때

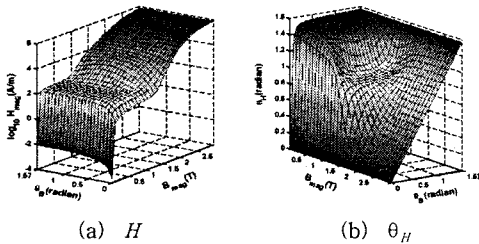


그림 3.  $B$ 와  $\theta_B$ 의 변화에 따른  $H$ 와  $\theta_H$

문에 다음과 같이 표현될 수 있다.

$$\frac{\partial v_k}{\partial A_j} = \frac{\partial v_k}{\partial B} \frac{\partial B}{\partial A_j} + \frac{\partial v_k}{\partial \theta_B} \frac{\partial \theta_B}{\partial A_j} + \frac{\partial v_k}{\partial H} \frac{\partial H}{\partial A_j} + \frac{\partial v_k}{\partial \theta_H} \frac{\partial \theta_H}{\partial A_j} \quad (10)$$

여기서,  $k$ 는  $x$ 와  $y$ 를 나타낸다. 식 (9)와 (10)을 이용하여 미분치  $\partial R_j / \partial A_j$ 를 정리하면 다음과 같이 표현된다.

$$\frac{\partial R_j}{\partial A_j} = v_x \frac{d_j}{4\Delta} \left(1 - \frac{B_y^2}{B^2}\right) - v_y \frac{c_j c_j}{4\Delta} \left(1 - \frac{B_x^2}{B^2}\right) - \frac{1}{B^2} \left( -\frac{c_j d_j}{4\Delta} H_y B_x + \frac{d_j c_j}{4\Delta} H_x B_y \right) + \frac{d_j}{2} \left( C \frac{\partial B}{\partial A_j} + D \frac{\partial \theta_B}{\partial A_j} \right) - \frac{c_j}{2} \left( E \frac{\partial B}{\partial A_j} + F \frac{\partial \theta_B}{\partial A_j} \right) \quad (11)$$

여기서, 계수  $C$ ,  $D$ ,  $E$ ,  $F$ 는 다음과 같이 표현된다.

$$C = 2 \cos(\theta + \theta_H) \frac{\partial H}{\partial B} - 2H_y \frac{\partial \theta_H}{\partial B} - \frac{H_x}{B} \quad (12-1)$$

$$D = 2 \cos(\theta + \theta_H) \frac{\partial H}{\partial \theta_B} - 2H_y \frac{\partial \theta_H}{\partial \theta_B} \quad (12-2)$$

$$E = 2 \sin(\theta + \theta_H) \frac{\partial H}{\partial B} + 2H_x \frac{\partial \theta_H}{\partial B} - \frac{H_y}{B} \quad (12-3)$$

$$F = 2 \sin(\theta + \theta_H) \frac{\partial H}{\partial \theta_B} + 2H_x \frac{\partial \theta_H}{\partial \theta_B} \quad (12-4)$$

식 (12)의 미분치  $\partial H / \partial B$ ,  $\partial \theta_H / \partial B$ ,  $\partial H / \partial \theta_B$ ,  $\partial \theta_H / \partial \theta_B$ 는 그림 3의 측정 데이터를 이용하여 계산되어질 수 있다. 그림 4는  $B$ 와  $\theta_B$ 에 따른  $\partial H / \partial B$ ,  $\partial \theta_H / \partial B$ ,  $\partial H / \partial \theta_B$ ,  $\partial \theta_H / \partial \theta_B$ 를 나타낸 것이다.

### 3. 해석 결과 비교

#### 3.1 해석 모델

그림 5는 유한요소 해석을 위해 사용된 해석모델을 나타낸다. 코어 재질은 그림 3의 특성을 가지는 이방성 전기강판 30PG110(POSCO)이 사용되었다. 일반적인 해석 방법의 경우, 그림 2의 RD와 TD방향에서의 B-H 곡선만을 이용하여 계산되었고, ( $B \theta_B$ )법을 이용한 해석 방법의 경우 그림 3의 2차원 자기 특성을 이용하여 계산되었다.  $A_1$ 과  $A_2$ 에는 Dirichlet 경계조건이 주어졌으며 코어의 평균자속밀도  $B_{avg}$ 는  $(A_1 - A_2) / 0.07$ 로부터 구해질 수 있다.

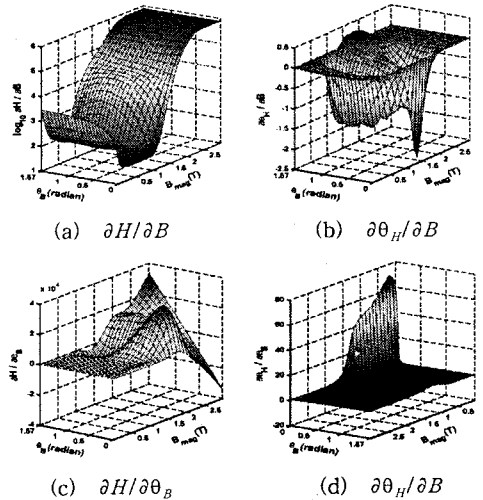


그림 4.  $B$ 와  $\theta_B$ 의 변화에 따른 미분치

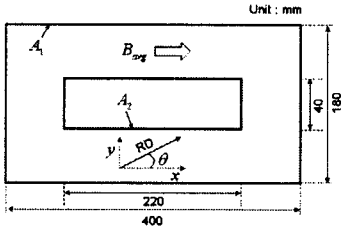


그림 5. 해석 모델

### 3.2 해석 결과

그림 6은 일반적인 해석방법과  $(B\theta_B)$ 법을 이용한 해석방법에 의해 계산된 이방성 전기강판에서의 자속 분포를 비교한 것이다. 이 때,  $B_{avg}$ 는  $0.5(T)$ 이고 RD방향( $\theta$ )는  $0^\circ$ 이다. 그림 6(a)과 (b)를 보면 코어의 모서리 부분에서 RD방향으로 자속이 급격히 변화하여 코어의 안쪽 부분으로 대부분의 자속이 통과함을 볼 수 있다. 두 방법에 의해 해석된 자속의 분포가 비슷하게 보이지만 국부적으로, 특히 코어의 안쪽 모서리부분(점선으로 표시된 부분)에서 자속 분포가 크게 차이가 난다. 일반적인 해석방법에 의해 계산된 자속보다  $(B\theta_B)$ 법에 의해 계산된 자속이 RD방향으로 더 급격히 변화하는 것을 볼 수 있다.

그림 7은  $B_{avg}$ 가  $1.7(T)$ 이고 RD방향( $\theta$ )이  $0^\circ$ 일 때의 자속 분포를 비교한 것이다. 평균 자속밀도가 작을 경우에는 그림 6과 같이 투자율이 큰 RD 방향으로 자속이 집중되어 코어의 안쪽으로만 통과하는데 비해, 평균 자속밀도가 큰 경우에는 코어 안쪽에서의 자기포화 현상 때문에 그림 7과 같이 자속이 코어의 바깥쪽으로도 균일하게 통과함을 볼 수 있다.  $B_{avg}$ 가 높은 경우에도 코어의 안쪽 모서리부분(점선으로 표시된 부분)에서 자속 분포가 크게 차이가 나는 것을 볼 수 있다.

그림 8과 그림 9는 RD방향에 따른 자속분포를 해석한 것이다. 이 때,  $B_{avg}$ 는  $0.5(T)$ 이고 RD방향( $\theta$ )은 각각  $15^\circ$ 와  $45^\circ$ 이다. RD방향의 투자율이 크기 때문에 RD 방향으로 자속이 통과하려고 하는 것을 볼 수 있다. 그림 8과 그림 9 또한 대부분의 자속 분포가 비슷하게 보이지만 국부적으로, 특히 코어의 안쪽 모서리부분에서 크게 차이가 나는 것을 볼 수 있다.

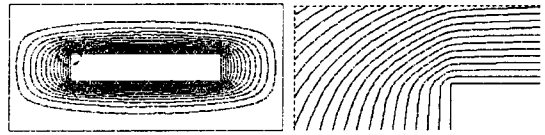
## 4. 결 론

일반적인 유한요소 해석방법과  $(B\theta_B)$ 법을 이용한 해석방법에 의한 이방성 전기강판에서의 자계 분포를 해석하였다.  $(B\theta_B)$ 법을 이용하여  $B$ 와  $H$ 의 위상차를 고려할 경우 자속 분포가 다르게 나타나는 것을 확인할 수 있었다. 특히, 코어의 모서리 부분에서 전기강판의 이방성 특성이 크게 나타나, 일반적인 해석 방법에 비해 자속 분포가 크게 차이가 나는 것을 확인할 수 있었다. 추후에는 실험 결과와의 비교를 통해 해석 결과의 비교 및 해석 방법의 타당성을 확인할 것이다.

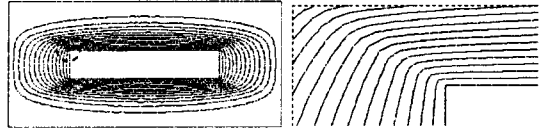
### [참 고 문 헌]

- [1] T.Nakata, K.Fujiwara, N.Takahashi, M.Nakano, and N.Okamoto, "An improved numerical analysis of flux distributions in anisotropic materials," *IEEE Trans. on Magn.*, Vol. 30, No. 5, pp. 3395-3398, Sep. 1994.
- [2] M. Enokizono and N. Soda, "Finite element analysis of transformer model core with measured reluctivity tensor," *IEEE Trans. on Magn.*, Vol. 33, No. 5, pp. 4110-4112, Sep. 1997.

- [3] K. Fujiwara, T. Adachi, and N. Takahashi, "A proposal of finite-element analysis considering two-dimensional magnetic properties," *IEEE Trans. on Magn.*, Vol. 38, No. 2, pp. 889-892, March 2002.

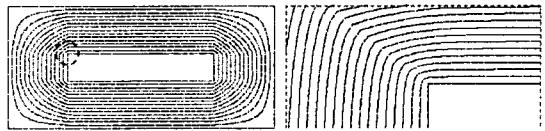


(a) 일반적인 해석방법

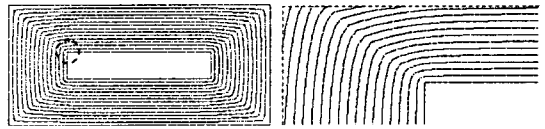


(b)  $(B\theta_B)$ 법

그림 6. 자속 분포의 비교 ( $B_{avg} = 0.5T, \theta = 0^\circ$ )

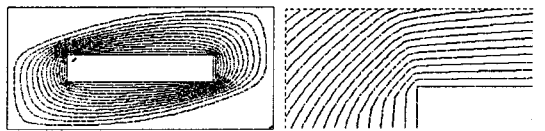


(a) 일반적인 해석방법

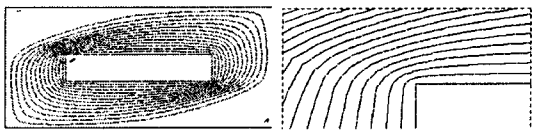


(b)  $(B\theta_B)$ 법

그림 7. 자속 분포의 비교 ( $B_{avg} = 1.7T, \theta = 0^\circ$ )

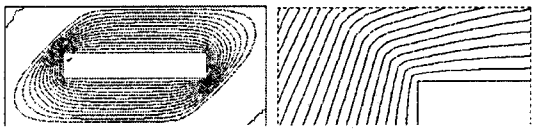


(a) 일반적인 해석방법

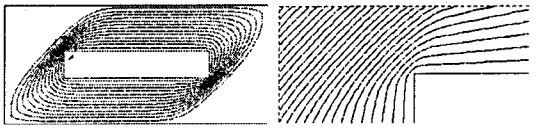


(b)  $(B\theta_B)$ 법

그림 8. 자속 분포의 비교 ( $B_{avg} = 0.5T, \theta = 15^\circ$ )



(a) 일반적인 해석방법



(b)  $(B\theta_B)$ 법

그림 9. 자속 분포의 비교 ( $B_{avg} = 0.5T, \theta = 45^\circ$ )